

## 技術解說

**Active Filter 設計理論 (I)**

金 定 德\*

**1. 紹 介**

Passive LC Filter 가 高周波用으로 使用時에는 設計도 용이할 뿐만 아니라 좋은 性能을 보여 준다. 그러나 이것이 低周波用으로 使用할 때 Q 最大值는 대개 100 程度로 限定되어 있다. 實體적으로 100 程度의 Q 를 얻기 위해서도 부피가 크고 bulky 한 Inductor 를 사용하여야 될 뿐만 아니라 線의 감는 回數增加에 따라 熱 혹은 振動 stress로 인하여 耐久性이 弱하게 된다. 또한 Ferrite Core 等의 使用으로 Inductor 부피를 감소시킬려는 노력은 큰 成果를 보지 못했다고 볼 수 있겠다. 이는 곧 Inductor 特性이 周波數가 낮아짐에 따라 빠른 속도로 低落되는 경향이 있기 때문이다.

反面 Active Filter 는 부피가 적다는 長點을 가진다. 即 LC Filter 와는 달리 Active Filter IC 형태로 製作될 수 있다는 點이다. 또한 Active Filter 는 入力 및 出力 Impedance 에 구애를 받지 않고 設計될 수 있다. 또 하나의 Passive Filter 에 比較하여 Active Filter 의 長點은 入力側과 出力側 사이에 Signal Loss 가 없다는 點이다.

Active Filter 의 사용용도는 대단히 廣範圍하다고 볼 수 있겠다. 예를들면 Cutoff 周波數가 1Hz 인 Low-pass Filter 혹은 Spike 當 0.5~1 Hz 를 가지고 中間周波數가 50Hz 정도인 Comb Filter 等이다. 또한 廣大域, 적은 Size, Zero Insertion Loss 等이 要求되는 回路에도 使用될 수 있다. 誘導現象 때문에 Coil 이 使用 될 수 없는 回路들에도 Active Filter 가 適合하다.

**2. Synthesis 方法의 紹介**

要求되는 周波數 및 Phase 特性을 얻기 위한

Active RC Filter 제작에 關하여는 많은 Synthesis 技巧가 發展되었다(1,2). 그中에서 가장 많이 알려진 技巧로서 다음의 5가지를 들수 있겠다.

- (1) Gyrator에 依한 方法.
- (2) Negative-Impedance Converter에 依한 方法(3,4,5)
- (3) Operational Amplifier에 依한 方法(1,2,6,7)
- (4) State-variable 技巧(8)
- (5) Positive-Impedance Converter에 依한 方法(10,11)

以上의 各各 技巧에 對하여 다음에서 자세히 설명하기로 한다.

**3. Gyrator에 依한 Active Filter 設計**

Gyrator 는 入力側 Impedance 가 그의 負荷 Admittance에 比例하는 Nonreciprocity 한 two-port Network 이다. 따라서 Gyrator 負荷側에 Capacitor 를 連結시키면 入力側에서 볼 때 Inductor 的 役割을 할 수 있다. 더구나 Gyrator 는 回路內의 Signal Energy 를 증폭시키지도 않고 소모하지도 않기 때문에 Gyrator 回路內에 Active Element 를 包含하고 있지만 Lossless Passive Network 와 같이 動作된다.

一般的으로 Capacitor 와 Inductor 를 比較할 때 Capacitor 가 Inductor 보다 더 높은 Q Factor 를 가지고 있으며 dissipation 이 더 적기 때문에 Gyrator 와 Capacitor 로써 만든 Inductor 는 Discrete type 의 Inductor 보다 더 良好하다고 볼 수 있다. 따라서 LC Filter 内의 Inductor 를 Gyrator 回路로써 대체 할 수 있으며 實際 Filter 設計의 例는 다음에서 볼 수 있다.

**設計方法 1**

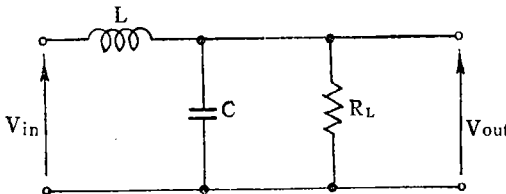
Active Filter 設計에 있어서 가장 直接的인 方

\*陸軍士官學校 教授部

法은 Passive LC Filter 를 먼저 設計하고 그 중에 Inductor 를 Gyrator 와 Capacitor 로써 대체하는 方法이다. 예를 들어 damping ratio 가  $\xi$  이고共振周波數  $w_0$  인 2次 Low-pass Filter 를 設計한다고 생각하자. DC gain 을 1이 되어야 Open-Circuit Voltage Transfer 函數는

$$T(S) = \frac{V_{out}}{V_{in}} = \frac{w_0^2}{S^2 + 2\xi w_0 S + w_0^2}$$

RLC Filter 로써 上記 Transfer 函數를 Synthesis 하면 그림 1과 같이 된다.



$$L = \frac{2R_L}{w_0} \quad C = \frac{1}{2R_L w_0}$$

그림 1

그림 1에 있는 回路中 Inductor 를 Gyrator 와 Capacitor 로써 대체하면 그림 2에 있는 回路와 같다.

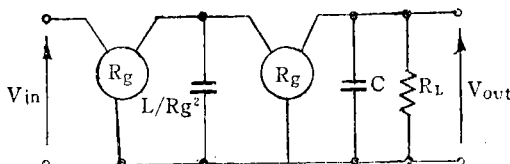


그림 2

그림 2에 있는 Filter 의 Stability 를 조사하기 위해서 Gyrator 계수  $R_g$  가  $R_x$  로 变한다고 가정하면

$$L = \frac{2\xi R_L}{w_0} \cdot \frac{R_x^2}{Rg^2}$$

만일  $Rx^2/Rg^2$  을  $\alpha^2$  으로 놓으면 Transfer 函數는 다음과 같이 된다.

$$\begin{aligned} T(S) &= \frac{1}{LCS^2 + \frac{L}{R_L}S + 1} \\ &= \frac{w_0^2}{\alpha^2 S^2 + 2\xi w_0 \alpha^2 S + w_0^2} \end{aligned}$$

따라서 DC gain 은 1이 되어 不變이며共振周波數와 damping ratio 는 다음과 같이 变한다.

$$w_x = w_0(Rg/Rx)$$

$$\xi x = \xi \alpha^2$$

즉 Gyrator 계수에 10%의 變化가 있으면共振周波數와 damping ratio 는 각각 9%와 20%의 變化가 생긴다. 上記 方法에 依한 Active Filter 設計는 容易한 反面 두개의 Gyrator 를 使用해야 되고 Stability(安定度)가 나쁘다는 短點이 있다.

### 設計方法 2

i) 方法은 두개의 RC Network 를 Gyrator 로써 연결시키는 Cascaded Network 를 사용한다.

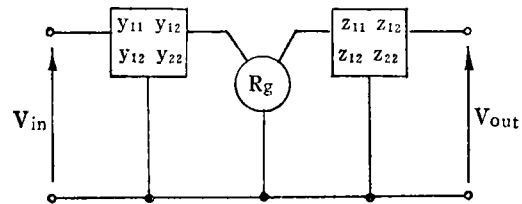


그림 3

各各의 RC Network 는 Two-Port Network로써 좌측 Network 는 Y-admittance 계수로써 우측 Network 는 Z-impedance 계수로써 表示한다. 이와 같은 回路는 다음의 Open-circuit Noltage Transfer 函數를 갖는다.

$$T(S) = \frac{N(S)}{D(S)} = \frac{-Rgy_{12}(S)z_{12}(S)}{z_{11}(S) + Rg^2y_{12}(S)}$$

문제는 주어진  $T(S)$ 로부터 RC 係數들을 찾아 내는 것이다. 이 方法은 Transfer 函數의 Pole 에 基礎를 두고 있기 때문에 동조주파수와 Damping ratio 에 對하여 良好한 Stability 를 준다. 이 設計上에는 단지 하나의 Gyrator 를 必要로 한다. 設計過程은 다음과 같다.

條1段階 :  $T(S)$  内의  $N(S)$  와  $D(S)$  를 어떤 任意의 polynomial  $Q(S)$  로 나누면

$$T = \frac{N/Q}{D/Q} = \frac{Rg y_{12}}{z_{11} + Rg^2 y_{22}}$$

第2段階 :  $D/Q$  를  $Z_{11} + Rg^2 y_{22}$  的 形태로 변환시키기 위하여  $Q = Q_1 \cdot Q_2$  라 놓으면

$$D/Q = \frac{D_2}{Q_2} + Rg^2 \cdot \frac{D_1}{Q_1} = \frac{D_2 Q_1 + Rg^2 D_1 Q_2}{Q_1 Q_2}$$

第3段階 : 第2段階의 結果를  $Z_{11} + Rg^2 y_{22}$  와 비교하면

$$z_{11} = \frac{D_2}{Q_2}, \quad y_{22} = \frac{D_1}{Q_1}$$

따라서 分母 polynomial D 는  $Q_1$  과  $Q_2$  項으로 表

示할 수 있다.

$$D = D_2 Q_1 + Rg^2 D_1 Q_2$$

Calahan(9)의 제안한 技巧를 利用하면  $D_2/Q_2$  를 RC Impedance 가 되도록 그리고  $D_1/Q_1$  을 RC Admittance 가 되도록 만들 수 있다.

上記 設計方法을 說明하기 위하여 다음의 Low-pass Filter 設計를 생각해 보자.

$$T(S) = \frac{w_0^2}{S^2 + 2\xi w_0 S + w_0^2}$$

여기에서  $N = w_0^2$

$$D = S^2 + 2\xi w_0 S + w_0^2$$

Calahan 의 Decomposition 方法을 適用하면

$$D = S^2 + 2\xi w_0 S + w_0^2$$

$$= K_1(S+a)^2 + K_2(S+b)^2$$

여기에서 未知數  $K_1, K_2, a, b$  를 計算하여야 한다. 상기  $D$  式을 展開하여 Coefficient Matching 을 시키면

$$D = (K_1 + K_2)S^2 + (K_1 a + K_2 b)2S + (K_1 a^2 + K_2 b^2)$$

따라서

$$K_1 + K_2 = 1$$

$$K_1 a + K_2 b = \xi w_0^2$$

$$K_1 a^2 + K_2 b^2 = w_0^2$$

만일

$$K_1 = \frac{1}{1+K_2/K_1}, \quad \frac{K_2}{K_1} = n^2 \text{ o] 면}$$

$a > b$  라는 가정에서

$$K_1 = \frac{1}{1+n^2}, \quad K_2 = \frac{n^2}{1+n^2}$$

$$a = w_0(\xi + n\sqrt{1-\xi^2})$$

$$b = w_0(\xi - n\sqrt{1-\xi^2})$$

또한

$$D_1 = K_0 \frac{Rg^2}{K_2} (s+b)$$

은 다음과 같다.

$$D_2 = K_1(s+a)$$

$$Q_1 = (S+a)$$

$$Q_2 = \frac{1}{K_0}(s+b)$$

따라서

$$z_{11} = K_0 K_1 \frac{s+a}{s+b}$$

$$y_{22} = K_0 \frac{K_2}{Rg^2} \cdot \frac{s+b}{s+a}$$

Transfer 頗數  $y_{12}$  와  $z_{12}$  는  $N=w_0^2$  로 부터 求할 수 있다. 即

$$z_{12} = K_0 \frac{M_2}{s+a}$$

$$-y_{12} = k_0 \frac{M_1}{s+a}$$

여기에서

$$M_2 M_2 = \frac{w_0^2}{K_0 Rg}$$

만일

$M_2 = K_2 b / Rg^2$  와  $M_1 = K_1(a-b)$  과 택하면 Gyrator 를 包含한 RC Active Filter 는 그림 4에 있는 回路와 같이 된다.

設計方法 2의 長點은 1個의 Gyrator 를 使用한다는 點과 Sensitivity 가 낮다는 點이다.

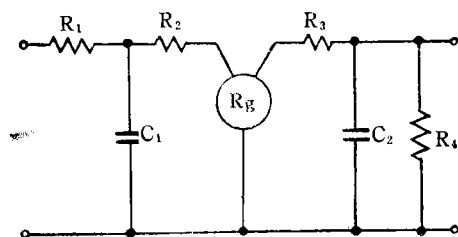


그림 4

$$R_1 = \frac{(1+n^2)^2}{n^3} \cdot \frac{Rg^2}{K_0} \cdot \frac{\sqrt{1-\xi^2}}{\xi - \frac{1}{n}\sqrt{1-\xi^2}}$$

$$R_2 = \frac{(1+n^2)}{n^2} \cdot \frac{Rg^2}{K_0}$$

$$R_3 = \frac{1}{(1+n^2)} K_0$$

$$R_4 = \frac{1}{n} K_0 \cdot \frac{\sqrt{1-\xi^2}}{\xi - \frac{1}{n}\sqrt{1-\xi^2}}$$

$$C_1 = \frac{n^3}{(1+n^2)^2} \cdot \frac{K_0}{Rg^2 w_0} \cdot \frac{1}{\sqrt{1-\xi^2}}$$

$$C_2 = n \frac{1}{K_0 w_0 \sqrt{1-\xi^2}}$$

實用的 Gyrator 回路 :

實用性이 있는 Gyrator 중의 하나는 B. A. Sheneoi 에 依한 것으로서 3個의 transistor 를 個用한 回路로써 그림 5에 있는 바와 같이 두개의 transistor 는 Common-Emitter 形태로써 使用하여 Forward Amplifier 의 役割을 담당하고 나머지 한개는 Common-Collector 의 形태로 使用하여 Active Feedback 을 준다.

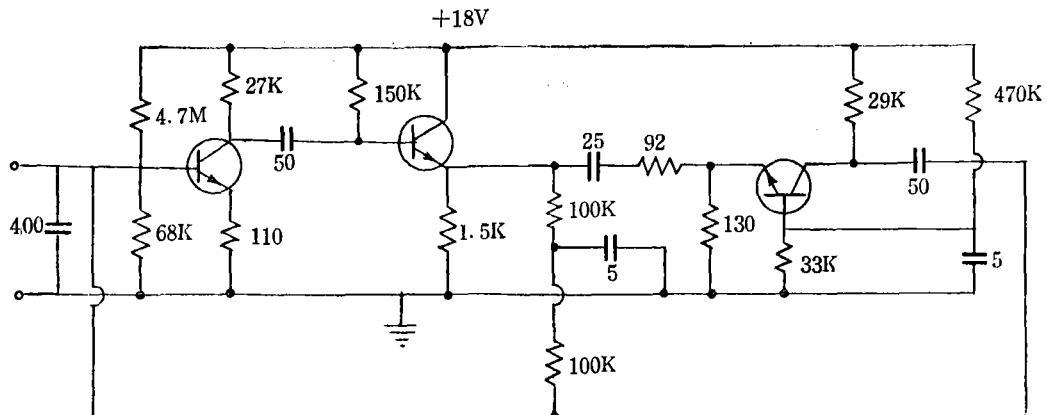


그림 5

上記回路의  $z_{11}=0.685\Omega$ ,  $z_{12}=-z_{21}=118\Omega$ ,  $z_{22}=2.2\Omega$  이다.

理想的인 Gyrator는  $z_{11}=z_{21}=0$  이어야 한다. 여기에서 Gyrator 저항은  $118\Omega$  라 볼 수 있겠다. 이 회로의 insertion loss는 周波數範圍 2KHz로부터 250KHz 까지 10% 以內이다. 또한 出力側이 open 되면 short 되었을 때 周波數 500KHz 까지는 Stability가 保障된다.

#### 4. Negative-Impedance Converter (NIC)를 利用한 Active Filter 設計方法

Negative-Impedance Converter 혹은 NIC는 two-port device로써 負荷에 어떤 Impedance가 인가되면 入力側에는 그 Impedance의 負의 値가 나타나게 한다. 例를 들어 저항이 부하로써 연결되면 入力側에서 본 Impedance는 負抵抗(Negative Impedance)이 된다.

NIC를 數式으로 表現하기 위하여 Chain Matrix를 使用하면 다음과 같이 定義된다.

$$\begin{pmatrix} E_1 \\ I_1 \end{pmatrix} = \begin{pmatrix} -k & 0 \\ 0 & 1 \end{pmatrix} \begin{pmatrix} E_2 \\ -I_2 \end{pmatrix} \text{ Voltage-Inversion Type.}$$

혹은

$$\begin{pmatrix} E_1 \\ I_1 \end{pmatrix} = \begin{pmatrix} 1 & 0 \\ 0 & -\frac{1}{k} \end{pmatrix} \begin{pmatrix} E_2 \\ -I_2 \end{pmatrix} \text{ Current-Inversion Type.}$$

만일 負荷의 저항을  $Z_0$  라 하면 volatage-Inversion 혹은 Current-Inversion NIC 공식

$$Z_{in} = -kZ_0 \text{ 를 준다.}$$

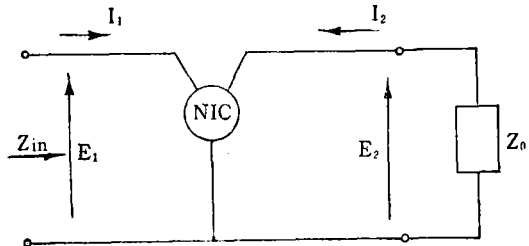


그림 6

NIC를 利用한 Active RC Filter의 設計는 3 가지의 方法이 고안되었다. 即 Linvill의 方法. Yanagisawa의 方法, Sipress의 方法등이다. 上記 方法들은 모두 1개의 NIC와 부속 RC Network로써 Active Filter를 설계하였다.

##### Linvill의 方法

두개의 RC Network를 NIC가 연결시켜 주는 Cascaded Network를 사용하였으며 Voltage-Inversion 혹은 Current-Inversion Type을 공히 사용할 수 있다.

만일 Voltage-Inversion Type을 사용하면

$$Z_{21} = \frac{E_2}{I_1} \mid I_2 = 0 = \frac{z_{21}a z_{21}b}{z_{22}a - z_{11}b}$$

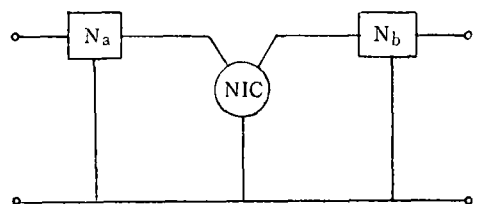


그림 7

여기에서 Subscript  $a$  와  $b$  는 Network  $N_a$  와  $N_b$  의 Impedance 계수임을 의미하고,  $k$ 는 NIC의 Voltage Inversion Ratio 이다. 만일 Current Inversion Type 을 사용하면

$$Z_{21} = \frac{kz_{21a} z_{21b}}{kz_{11b} - z_{22a}}$$

Synthesis 方法을 說明하기 위하여 다음의 Low-pass Network 을 설계해보자.

$$\begin{aligned} Z_{21} &= \frac{k_0}{S^2 + k_1 S + k_2} \\ &= \frac{z_{21a} z_{21b}}{z_{22a} - kz_{11b}} \\ &= \frac{P/q}{Q/q} \end{aligned}$$

여기에서

$$P = k_0$$

$$Q = S^2 + K_1 S + K_2 \text{ 이다.}$$

만일  $q = M(S+Q_1)(s+a_2)$  를 擇하면

$$\begin{aligned} z_{21a} z_{21b} &= \frac{K_0}{M(s+a_1)(s+a_2)} = \frac{P}{q} \\ z_{22a} - kz_{11b} &= \frac{S^2 + K_1 S + K_2}{M(s+a_1)(s+a_2)} = \frac{Q}{q} \end{aligned}$$

$Q/q$  를 partial fraction 으로 펼치면

$$\frac{S^2 + K_1 S + K_2}{M(S+a_1)(S+a_2)} = A_0 + \frac{A_1}{S+a_1} + \frac{A_2}{S+a_2}$$

여기에서

$$A_0 = \frac{1}{M}$$

$$A_1 = \frac{1}{M} \cdot \frac{a_1^2 - K_1 a_1 + K_2}{a_2 - a_1}$$

$$A_2 = -\frac{1}{M} \cdot \frac{a_2^2 - K_1 a_2 + K_2}{a_2 - a_1}$$

만일  $a_1, a_2, K_1, K_2$  의 수치를 代入하여  $A_1$  은 正數  $A_2$  는 負數로 計算된다고 하면 다음과 같이 assign 할 수 있다.

$$z_{22a} = A_0 + \frac{A_1}{S+a_1}$$

$$-kz_{11b} = \frac{A_2}{S+a_2}$$

다음에는  $P/q$  를 分配하여 可能한 RC Network 를 만든다.

즉

$$z_{11a} = K_0 \frac{A_0}{A_1} - \frac{1}{S+a_1}$$

$$z_{21b} = K_0 \frac{A_0}{A_1} - \frac{1}{S+a_2}$$

그리고

$$A_0 = -\frac{A_1 A_2}{K_0}$$

계산된  $z_{11a}, z_{22a}, z_{21b}, z_{22b}$  로 부터 一般的의 RC Synthesis 方法에 依하여 Network  $N_a$  와  $N_b$  를 설계하면 된다.

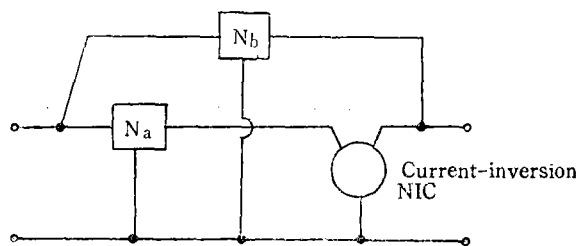


그림 8

### Yanagisawa 方法

Yanagisawa 方法에서 RC Network  $N_a$  가 다른 RC Network  $N_b$  그리고 NIC 와 Parallel로 연결되어 있다. 이 方法에서는 Current-Inversion NIC 를 使用하여 그림 8과 같은 回路에서 전체의 Open-Circuit Voltage Transfer 函數는 다음과 같이 表示된다.

$$T = -\frac{Y_{21b} - k}{Y_{22b} - k} \frac{Y_{21a}}{Y_{22a}}$$

만일 그림 8의 회로 Parameter 를 다음과 같이 가정하면 그림 9에 있는 회로와 같이 된다.

$$Y_{21a} = -Y_{1a}$$

$$Y_{22a} = Y_{1a} + Y_{2a}$$

$$Y_{21b} = -Y_{1b}$$

$$Y_{22b} = Y_{1b} + Y_{2b}$$

따라서

$$T = \frac{Y_{1b} - k}{Y_{1b} - k} \frac{Y_{1a}}{Y_{1a} + Y_{2b} + k} \frac{Y_{2b}}{Y_{2b}} = \frac{P}{Q}$$

설계 과정을 설명하기 위하여 만일 Transfer 函數  $T$  가

$$T = \frac{K_0}{S^2 + K_1 S + K_0}$$

으로 주어졌다고 하면  $P = K_0, Q = S^2 + K_1 S + K_0$  이다. 여기에서 任意의 polynomial  $q = M(s+a)$  를 택하여  $T$  的 分母, 分子를 나누어 주면

$$Y_1b - k Y_1a = \frac{K_0}{M(s+a)}$$

$$Y_2b - k Y_2a = \frac{S^2 + K_1 s}{M(s+a)}$$

각각을 Partial fraction 으로 전개하면

$$\frac{K_0}{M(s+a)} = A_0 + \frac{A_1 s}{s+a}$$

$$\frac{S^2 + K_1 s}{M(s+a)} = B_0 s + \frac{B_1 s}{s+a}$$

여기에서

$$A_0 = \frac{K_0}{aM}, \quad A_1 = -\frac{K_0}{aM}$$

$$B_0 = \frac{1}{M}, \quad B_1 = -\frac{\alpha - K_1}{M}$$

편의상  $k=1$  로 놓으면

$$Y_1b = A_0, \quad Y_1a = -\frac{A_1 s}{s+a}$$

$$Y_2b = B_0 s, \quad Y_2a = -\frac{B_1 s}{s+a}$$

따라서 모든 Network Element 는 결정되었다.

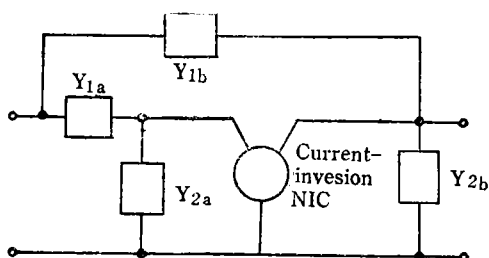


그림 9

### Sipress 方法

경우에 따라서는 4개의 Short-Circuit Admittance 係數중 2개의 Admittance 係數가 동시에 주어지고 그 係數에 依하여 Two-Port Network를 Synthesis 해야 될 경우가 있다. 이런 경우에는 그림 10에 있는 회로망과 같이 1개의 NIC 와 4개

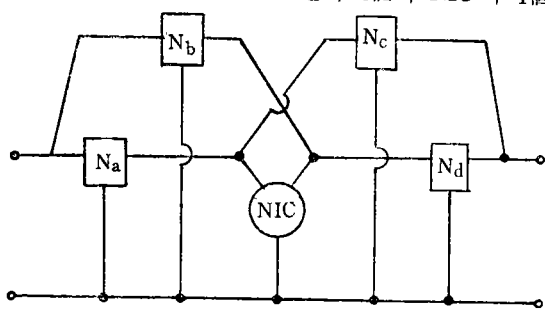


그림 10

의 RC Network 을 연결함으로써 Synthesis 할 수 있게된다. 회로망 해석으로 다음을 얻을수 있다.

$$Y_{11} = y_{12}^{(a)} + y_{11}^{(b)}$$

$$-\frac{(y_{12}^{(a)} + y_{12}^{(b)})(y_{12}^{(a)} - ky_{12}^{(b)})}{y_{22}^{(a)} + y_{11}^{(c)} - ky_{22}^{(b)} - ky_{11}^{(d)}}$$

$$Y_{22} = y_{22}^{(d)} + y_{22}^{(e)}$$

$$-\frac{(y_{12}^{(c)} + y_{12}^{(d)})(y_{12}^{(c)} - ky_{12}^{(d)})}{y_{22}^{(a)} + y_{11}^{(c)} - ky_{22}^{(b)} - ky_{11}^{(d)}}$$

만일 사용하는 NIC 가 Voltage-Inversion Type 이면 Short-Circuit Transfer Admittance 는

$$Y_{12} = -\frac{(y_{12}^{(a)} - ky_{12}^{(b)})(y_{12}^{(d)} + y_{12}^{(e)})}{y_{12}^{(a)} + y_{11}^{(c)} - ky_{22}^{(b)} - 4y_{11}^{(d)}}$$

$$Y_{21} = -\frac{(y_{12}^{(a)} + y_{12}^{(b)})(y_{12}^{(d)} - ky_{12}^{(c)})}{y_{22}^{(c)} + y_{11}^{(c)} - ky_{22}^{(b)} - ky_{11}^{(d)}}$$

또한 만일 사용하는 NIC 가 Current-Inversion Type 이면 상기 방정식에서  $Y_{12}$  와  $Y_{21}$  이 서로 바뀌게된다.

생각할 수 있는 모든 경우는 6가지가 된다. 즉  $Y_{11}$  와  $Y_{21}$  이 주어진 경우  $Y_{11}$  와  $Y_{12}$  가 주어진 경우,  $Y_{22}$  와  $Y_{21}$  가 주어진 경우,  $Y_{11}$  과  $Y_{22}$  가 주어진 경우,  $Y_{12}$  와  $Y_{21}$  이 주어진 경우이다. 각각의 경우에 Synthesis 하는 方法은 參考書籍(1, 2)에 설명되어 있으며 여기에서는 생략하기로 한다.

### 5. 結語

以上에서 Active Filter 設計에 있어서 두가지 技巧 즉 Gyrator에 依한 方法, NIC에 依한 方法을 살펴 보았다.

다음 기회에 Operational Amplifier에 依한 方法, State-Variable 技巧, PIC에 依한 方法 등을 살펴보겠다.

### Reference

- 1) K. L. Su, Active Network Synthesis, McGraw-Hill, 1965.
- 2) S. K. Mitra, Analysis and Synthesis of Linear Active Network, John Wiley, 1968.
- 3) J. G. Linvill, RC Active Filters, Proc. IRE. vol. 42, pp. 555-574. March 1954.
- 4) T. Yanagisawa, RC Active Networks Using Current-Inversion Type Negative Impedance Converters. IRE Trans. Circuit Theory, vol. CT-4, pp. 140-144. Sept. 1957.

- 5) J. M. Sipress, Synthesis of Active RC Networks, IRE Trans, Circuit Theory, vol. CT-8, Sept 1961.
  - 6) N. W. Cox, Jr, Synthesis of Admittance Matrices Using RC Networks and Operational Amplifiers Ph. D. Thesis, Georgia Inst. of Tech., 1967.
  - 7) 김정덕, K.L. Su., On the Sufficiency of NXN Transfer Matrices Synthesis Using Operational Amplifiers, IEEE Trans. Circuit Theory (To be published)
  - 8) R. W. Newcomb, Active Integrated Circuit Synthesis, Prentice-Hall, 1968.
  - 9) P. A. Calahan, Active Synthesis by RC-RL Partitioning, NEREM Record, Nov. 1960.
  - 10) 김정덕, Active Network Synthesis Using the Positive Impedance Converter Ph.D. Thesis, Georgia Institute of Tech. 1971.
  - 11) D. R. Cobb, Active Network Synthesis Using the Generalized Positive Impedance Converter. Ph.D. Thesis, Georgia Insititute of Tech. 1971.
-